

# 浮力提拉单晶炉\*

超声压电材料组

(中国科学院物理研究所)

## 提要

浮力提拉单晶炉是利用浮力的原理来提拉单晶的新型单晶炉。它结构简单，振动小，造价低廉。提拉速率范围为0.5毫米~150毫米/小时，连续可调，在长时间提拉中，拉速不稳定度<5%。通过二年多来的试用，性能稳定可靠。已先后拉出较大块的铌酸锂单晶和锗酸铋单晶。

## 引言

用措赫拉耳斯基(zochralski)法<sup>[1]</sup>(通称提拉法)生长单晶日趋广泛，如硅单晶、锗单晶，以及目前激光、电光和微声用的单晶都采用提拉法生长。通常采用的设备是机械式单晶炉。1969年曾出现水气并动(Hydropneumatic)式<sup>[2]</sup>提拉单晶炉。本着自力更生、奋发图强的精神，我们经过反复试验和改进，研制成功了一种新型的提拉单晶炉，取名浮力提拉单晶炉(简称FTD)。

## 原 理

FTD的特点是采用浮力提拉装置，其原理如图1所示。自来水通过阀门 $T_1$ 不断地注入称为“稳压器”

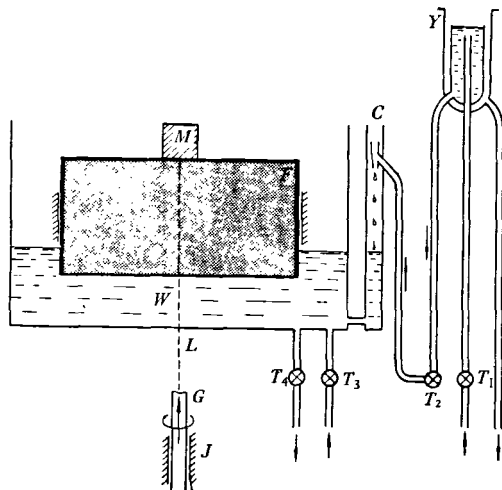


图1 FTD 原理图

Y的夹层玻璃杯里，它保持着一定的水位，来自其中的水经过阀门 $T_4$ 滴入连通管C，然后流入水箱W里，加以导向的浮箱F载着一个马达M(ND系列)随着向上升起，起了提拉的作用。马达通过一根软轴L转动籽晶杆G，籽晶杆由支座J导向，这样就完成了提拉法的二个动作要领——边转边拉。由于水是很好的减震介质，整个系统的振动极小。阀门 $T_1$ 用以快升，阀门 $T_4$ 用以快降。

在这样一个系统中，拉速的控制转变成为水流量的控制，后者在目前采用固定压差而改变阀门截面的办法。考虑到水密和重复性的要求，阀门采用针型结构，如图2所示。其中O是阀座，I是阀针。当阀针旋

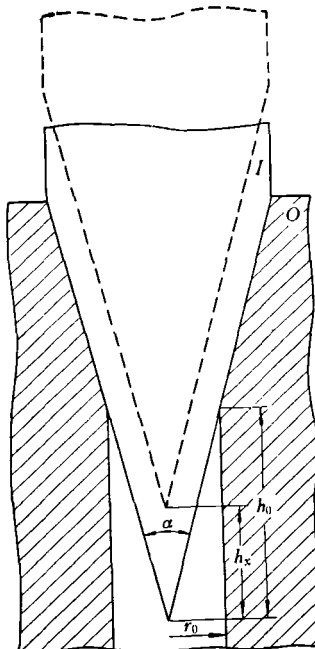


图2 阀门结构原理图

开后，水开始流动。假定水作理想流体的稳定流动，不难计算，水通过阀门所打开的环形截面的流量为：

$$Q = Ah_x + Bh_x^2, \quad (1)$$

\* 1973年4月28日收到。

其中  $h_s$  为阀针移动的距离,

$$A = \sqrt{2gH} \cdot 2\pi \frac{r_0^2}{h_0}, \quad (2)$$

$$B = -\sqrt{2gH} \cdot \pi \frac{r_0^2}{h_0^2}. \quad (3)$$

这里  $H$  为压差,  $g$  为重力加速度,  $r_0$  为阀门半径,  $h_0$  为阀针端头的长度(见图 2)。于是, 如果在阀针手轮的圆周方向作等分刻尺(称为阀位), 它将与拉速成二次

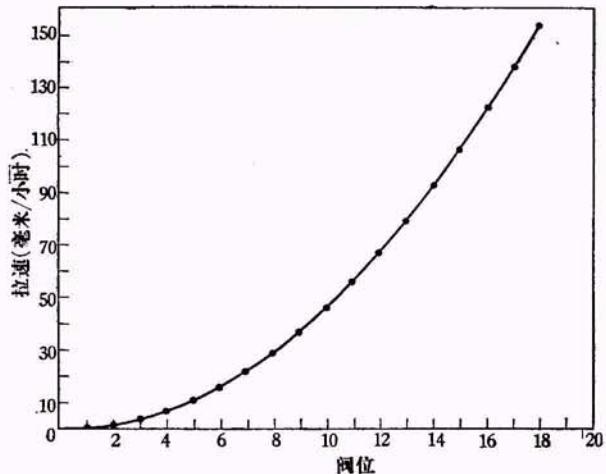


图 3 阀位与拉速间二次曲线函数关系的一个实例

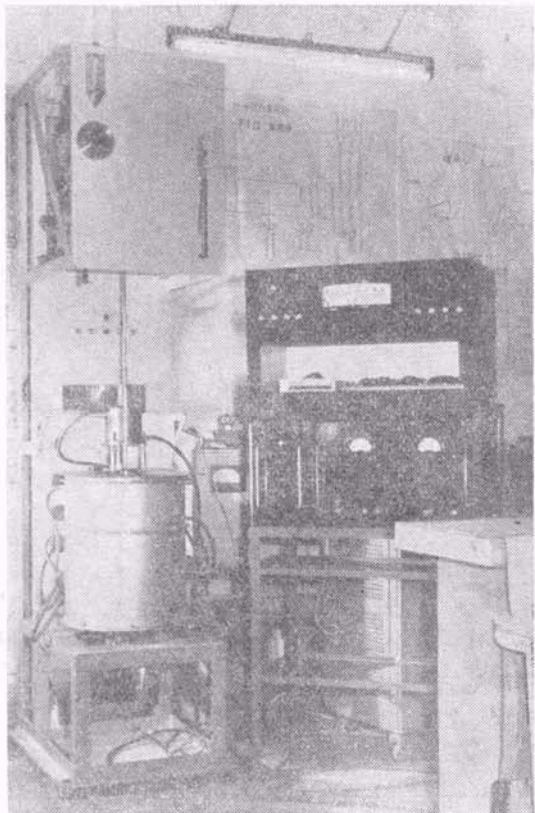


图 4 浮力提拉单晶炉外形照片之一

曲线的函数关系。设计时可用这些式子来估算, 在实际使用时, 则需对具体阀门作具体定标, 以消除加工误差。图 3 给出一个实际例子。

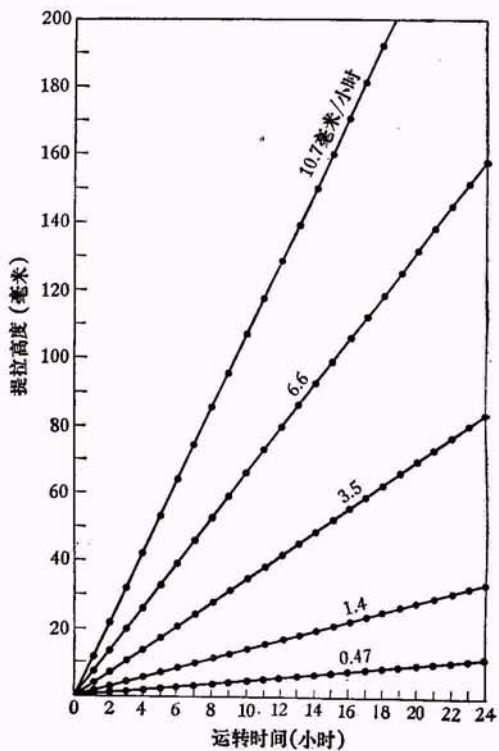


图 5(a) 小拉速稳定性试验结果

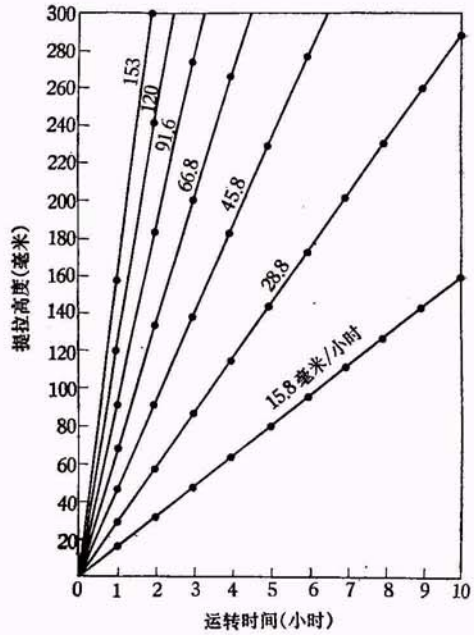


图 5(b) 大拉速稳定性试验结果

## 效 果

图4是FTD的外形照片之一。拉速范围为0.5毫米—150毫米/小时，连续可调，稳定性试验结果如图5(a)和图5(b)所示。不稳定度<5%，晶转速度为0—96转/分，连续可调。

二年多来，我们采用二台FTD生长铌酸锂单晶和锗酸铋单晶，运转稳定。生长出的部分晶体照片如图6和图7所示。采用国产原料能生长出直径为30毫米、长度超过100毫米的铌酸锂单晶，以及截面为 $25 \times 25$ (毫米)<sup>2</sup>、长度超过120毫米、重量超过半公斤

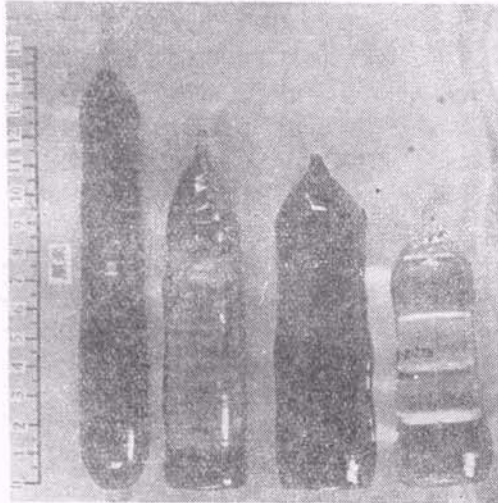


图6 铌酸锂单晶

的锗酸铋单晶。二者生长均用铂坩埚，容积均为140 c.c. 所生长单晶的主要工艺和部分物理常数的测试结果如表1所示。其他性能尚未测试。

二台FTD都是本所工人师傅加工制成的，晶体生长过程中得到所内外许多兄弟单位和同志的支持。

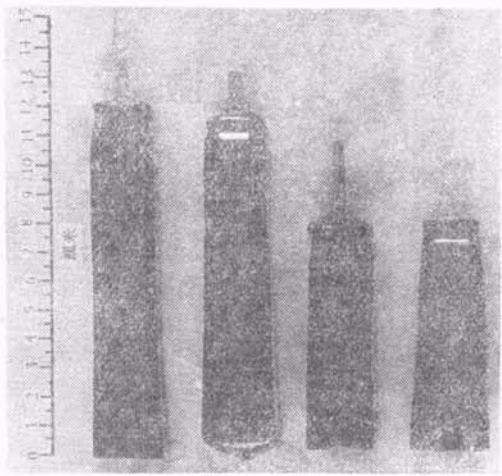


图7 锗酸铋单晶

## 参 考 文 献

- [1] J. Czochralski, *Z. Phys. Chem.*, **92** (1918), 219.
- [2] J. C. Brice, *J. Sci. Instr.*, **SZ. 2** (1969), 1063.
- [3] A. W. Warner, M. Onoe, G. A. Coquin, *J. Acoust. Soc. Am.*, **42** (1967), 1223.
- [4] M. Onoe, W. Warner, A. A. Ballman, *IEEE Trans.*, **SU-14** (1967), 165.
- [5] A. J. Slobodnik, Jr., J. C. Sethares, *J. Appl. Phys.*, **43** (1972), 247.

表1. 两种晶体的主要生长工艺和物理性能

单 晶 结 果		铌 酸 锂 ( $\text{LiNbO}_3$ )		锗 酸 钨 ( $\text{Bi}_{12}\text{GeO}_{20}$ )	
工 艺	提拉速度	8 毫米/小时		6 毫米/小时	
	晶转速度	25 转/分		52 转/分	
	温度梯度	$60^\circ\sim 80^\circ\text{C}/\text{厘米}$		$80^\circ\sim 100^\circ\text{C}/\text{厘米}$	
性 能	参数 来源	我 们	美国 Bell 公司 <sup>[3]</sup>	我 们	美国 Bell 公司 <sup>[4]</sup>
	密度 $10^3 \frac{\text{公斤}}{\text{米}^3}$	4.61	4.64	9.20	9.2
	介电常数	$\epsilon_{11}^T = 74.8$ $\epsilon_{33}^T = 29.1$	$\epsilon_{11}^T = 84$ $\epsilon_{33}^T = 30$	$\epsilon_{11}^S = 38.6$	$\epsilon_{11}^S = 38$
	弹性常数	$S_{11}^E = 5.46 \times 10^{-12} \frac{\text{米}^2}{\text{牛顿}}$ $S_{33}^E = 4.90 \times 10^{-12} \text{ "}$	$S_{11}^E = 5.78 \times 10^{-12} \frac{\text{米}^2}{\text{牛顿}}$ $S_{33}^E = 4.89 \times 10^{-12} \text{ "}$	$C_{11}^E = 1.29 \times 10^{11} \frac{\text{牛顿}}{\text{米}^2}$ $C_{11}^E = 0.39 \times 10^{11} \text{ "}$ $C_{44}^E = 0.254 \times 10^{11} \text{ "}$	$C_{11}^E = 1.20 \times 10^{11} \frac{\text{牛顿}}{\text{米}^2}$ $C_{11}^E = 0.39 \times 10^{11} \text{ "}$ $C_{44}^E = 0.25 \times 10^{11} \text{ "}$
	压电常数	$d_{31} = -1.1 \times 10^{-12} \frac{\text{库伦}}{\text{牛顿}}$ $d_{33} = 7.5 \times 10^{-12} \text{ "}$	$d_{31} = -1 \times 10^{-12} \frac{\text{库伦}}{\text{牛顿}}$ $d_{33} = 6 \times 10^{-12} \text{ "}$	$e_{14} = 1.14 \frac{\text{库伦}}{\text{米}^2}$	$e_{14} = 0.71 \frac{\text{库伦}}{\text{米}^2}$

\* 和另一文献[5]比较，本值亦较高，原因将进一步研究分析。